

Případová studie akcelerace pomocí GPGPU: enumerativní ověřování modelu

Jiří Barnat





- Levná a dostupná HW akcelerace
- Masově rozšířená
- Vyžaduje specifický způsob paralelizace algoritmů

Enumerativní ověřování modelu

- Formální verifikace **asynchronních paralelních systémů**
- Výpočetně a prostorově náročná aplikace
- Nevyžaduje aritmetiku s pohyblivou desetinnou čárkou
- P-úplné algoritmy (nelze snadno efektivně paralelizovat)

Předchozí úspěšné realizace paralelizace v



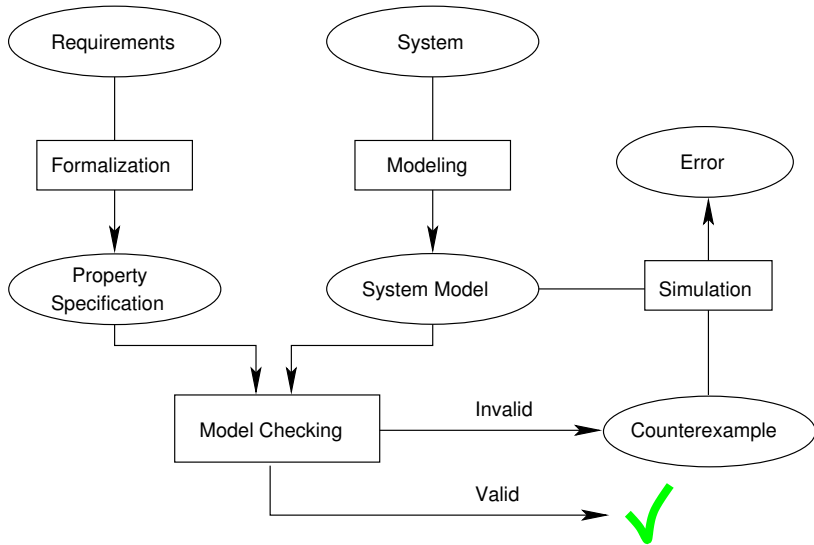
- Prostředí s distribuovanou pamětí (výpočetní klastry)
- Prostředí se sdílenou pamětí (vícejaderné výpočetní servery)

Otázka

- **Je možné akcelarovat s využitím GP GPU?**

Enumerativní ověřování modelu

Schéma metody ověřování modelu

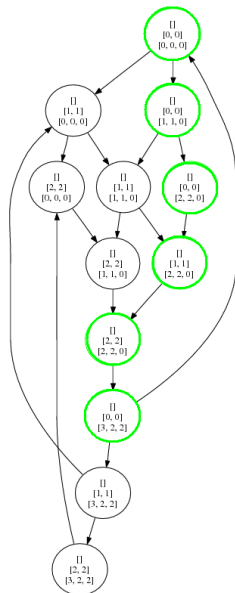


Paralelní systém & Graf stavového prostoru

```
channel {byte} c[0];
```

```
process A {  
  byte a;  
  state q1,q2,q3;  
  init q1;  
  trans  
  q1→q2 { effect a=a+1; },  
  q2→q3 { effect a=a+1; },  
  q3→q1 { sync c!a; effect a=0; };  
}
```

```
process B {  
  byte b,x;  
  state p1,p2,p3,p4;  
  init p1;  
  trans  
  p1→p2 { effect b=b+1; },  
  p2→p3 { effect b=b+1; },  
  p3→p4 { sync c?x; },  
  p4→p1 { guard x==b; effect b=0, x=0; };  
}
```



Příklad konkrétního běhu paralelního programu

State: []; A:[q1, a:0]; B:[p1, b:0, x:0]
0 (0.0): q1 → q2 { effect a = a+1; }
1 (1.0): p1 → p2 { effect b = b+1; }
Command:1

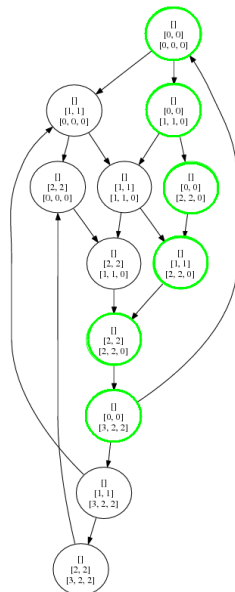
State: []; A:[q1, a:0]; B:[p2, b:1, x:0]
0 (0.0): q1 → q2 { effect a = a+1; }
1 (1.1): p2 → p3 { effect b = b+1; }
Command:1

State: []; A:[q1, a:0]; B:[p3, b:2, x:0]
0 (0.0): q1 → q2 { effect a = a+1; }
Command:0

State: []; A:[q2, a:1]; B:[p3, b:2, x:0]
0 (0.1): q2 → q3 { effect a = a+1; }
Command:0

State: []; A:[q3, a:2]; B:[p3, b:2, x:0]
0 (0.2&1.2): q3 → q1 { sync c!a; effect a = 0; }
 p3 → p4 { sync c?x; }
Command:0

State: []; A:[q1, a:0]; B:[p4, b:2, x:2]



Pozorování

- Specifikace vstup/výstupního chování programu nepokrývá mnoho zajímavých vlastností reaktivních a paralelních programů.

Lepší způsob specifikace vlastností

- Požadavky na vlastnosti každého jednoho běhu systému.
- Systém je množina (nekonečných) běhů.
- Systém je korektní pokud specifikaci vyhovují všechny běhy.

Pozorování

- Pro popis vlastností jednoho běhu potřebujeme automatizovanou rozhodovací proceduru, která ověří, zda daný nekonečný běh systému má požadovanou vlastnost.

Má běh π požadovanou vlastnost?

$$\pi = \bullet \xrightarrow{a,b} \bullet \xrightarrow{b} \bullet \xrightarrow{a} \bullet \xrightarrow{a,b} \bullet \xrightarrow{b} \bullet \xrightarrow{b} \dots$$



Pozorování

- Pro popis vlastností jednoho běhu potřebujeme automatizovanou rozhodovací proceduru, která ověří, zda daný nekonečný běh systému má požadovanou vlastnost.

Má běh π požadovanou vlastnost?

$$\pi = \bullet \xrightarrow{a,b} \bullet \xrightarrow{b} \bullet \xrightarrow{a} \bullet \xrightarrow{a,b} \bullet \xrightarrow{b} \bullet \xrightarrow{b} \dots$$

Ověřování modelu s využitím teorie automatů

- **Büchi automat** rozpoznávající neplatné běhy.
- Synchronně spuštěn jako monitor se zkoumaným systémem.
- Verifikace redukována na problém detekce neplatného běhu.
- **Detekce dosažitelného akceptujícího cyklu v grafu.**

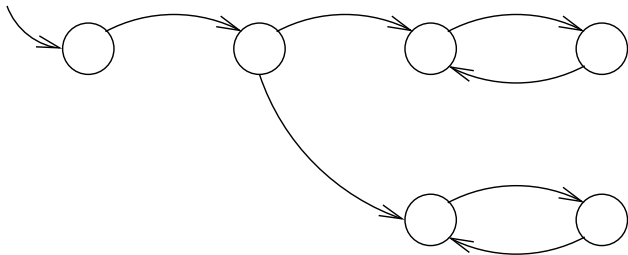
Akcelerace detekce akceptujícího cyklu

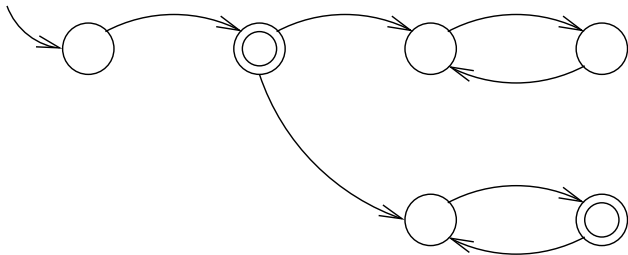
Sekvenční algoritmy

- Rozklad grafu na komponenty
- Vnořené prohledávání do hloubky (Nested DFS)
- DFS-postorder $\implies O(|V| + |E|)$

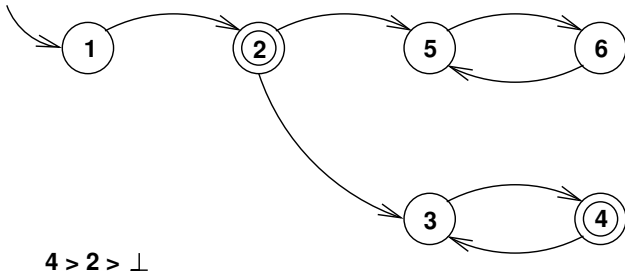
Paralelní algoritmy

- Není známo jak realizovat škálovatelně v čase $O(|V| + |E|)$
- Paralelní algoritmy jsou v obecném případě neoptimální
- Tvořeny z jednoduchých grafových primitiv, které lze dobře paralelizovat:
 - dopředná a zpětná dosažitelnost v grafu
 - topologické třídění
 - propagace hodnot (value iteration)

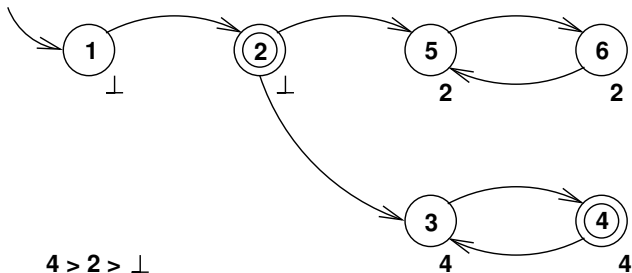




Akceptující stavy, akceptující stavy.



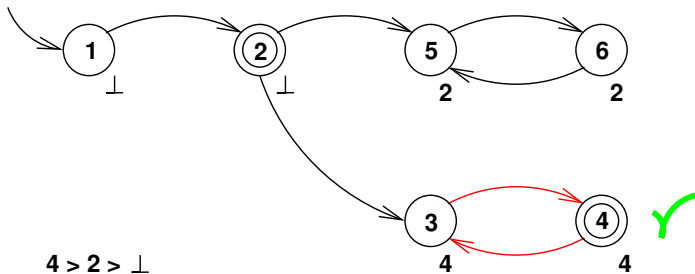
Uspořádání vrcholů grafu.



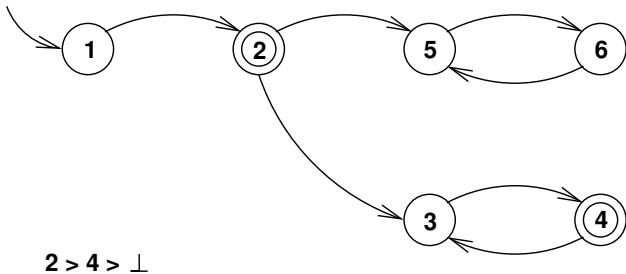
Maximální Akceptující Předchůdci (MAP)

$$\text{map}(v) = \max\{\perp, u \mid (u, v) \in E^+ \wedge \mathcal{A}(u)\}$$

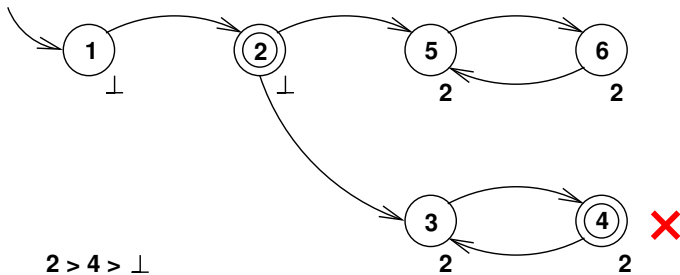
Algoritmus MAP



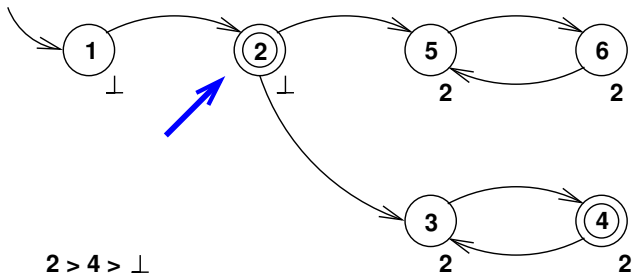
$map(v) = v \implies$ akceptující cyklus



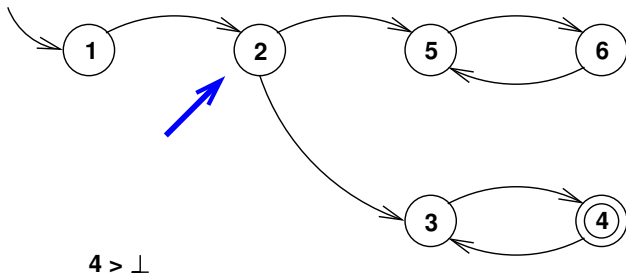
Co když $2 > 4$?



Akceptující cyklus není detekován.

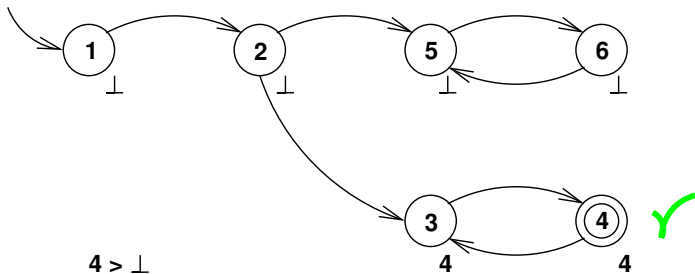


Pokud není nalezen akceptující cyklus, tak maximální akceptující předchůdci nemohou ležet na cyklu.



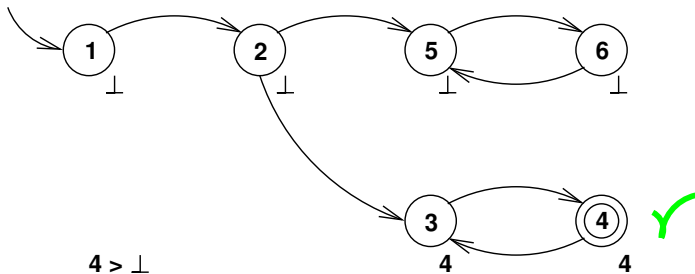
Maximální akceptující vrcholy označeny jako neakceptující.

Algoritmus MAP

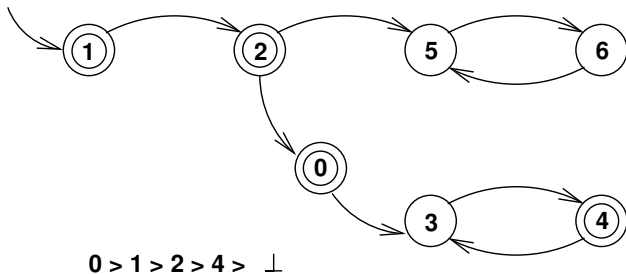


Opakuje se dokud není nalezen akceptující cyklus, nebo se odznačí všechny akceptující vrcholy.

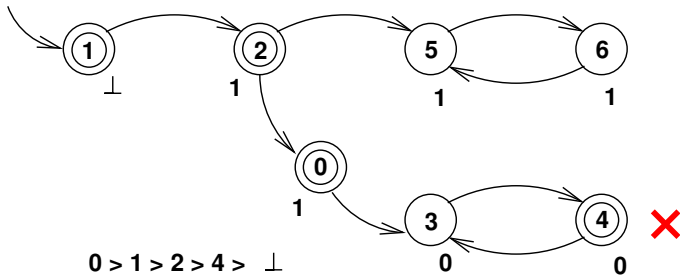
Algoritmus MAP



Následné iterace algoritmu mohou být omezeny na podgrafy se stejnou hodnotou funkce MAP.

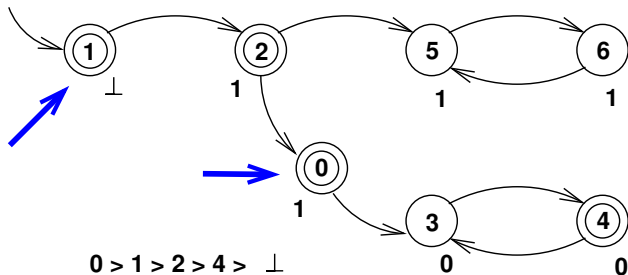


Ukázka dekompozice na podgrafy.

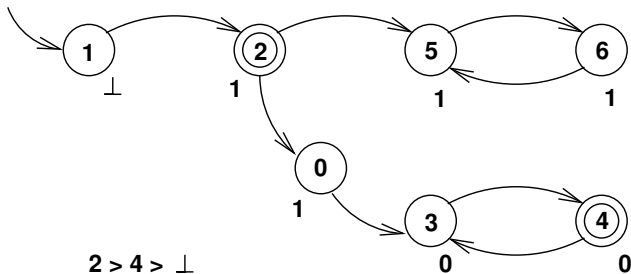


První iterace.
Nenalezen akceptující cyklus.

Algoritmus MAP – podgrafy



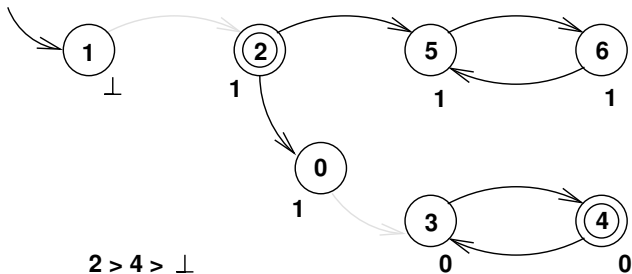
Vedoucí maximální vrcholy označeny jako neakceptující.
Akceptující vrchol v je vedoucí, pokud $\exists u : \text{map}(u) = v$.



Vedoucí maximální vrcholy označeny jako neakceptující.

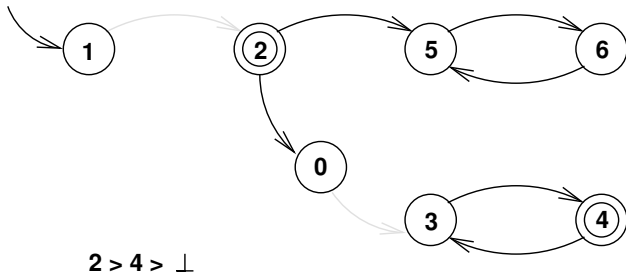
Akceptující vrchol v je vedoucí, pokud $\exists u : \text{map}(u) = v$.

Algoritmus MAP – podgrafy

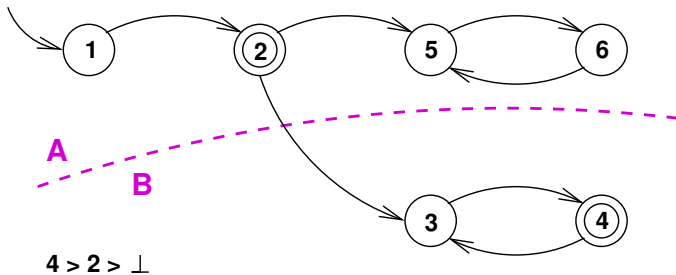


Dekompozice na podgrafy podle hodnot funkce MAP.
V následující iteraci jsou hodnoty uloženy jako **oldmap** hodnoty.

Algoritmus MAP – podgrafy

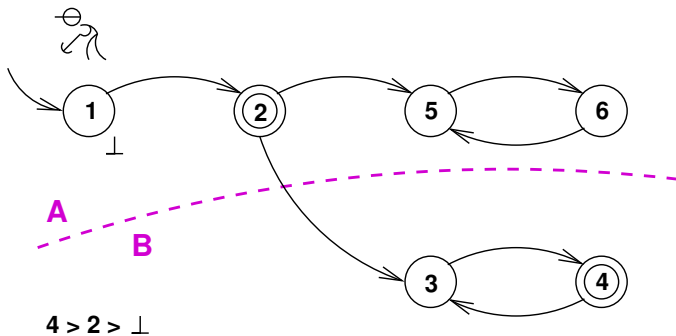


Výpočet map hodnot – malé množství jader



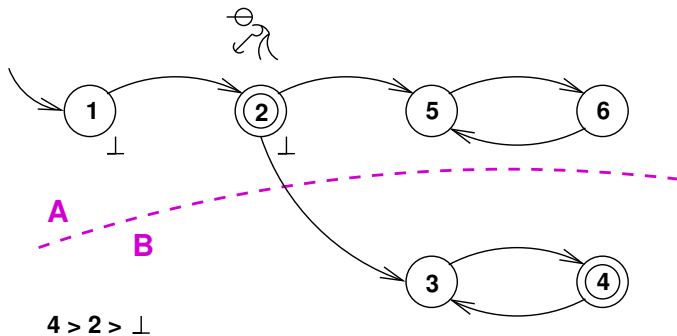
Rozdělení grafu.

Výpočet map hodnot – malé množství jader



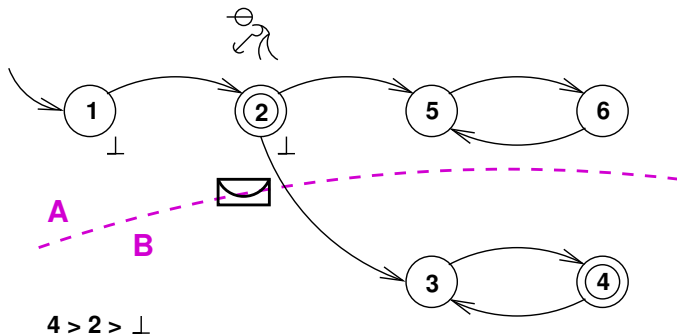
Každé jádro zpracovává svoji část.

Výpočet map hodnot – malé množství jader



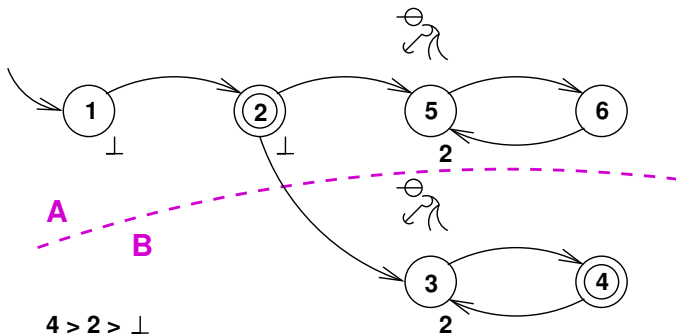
Každé jádro zpracovává svoji část.

Výpočet map hodnot – malé množství jader



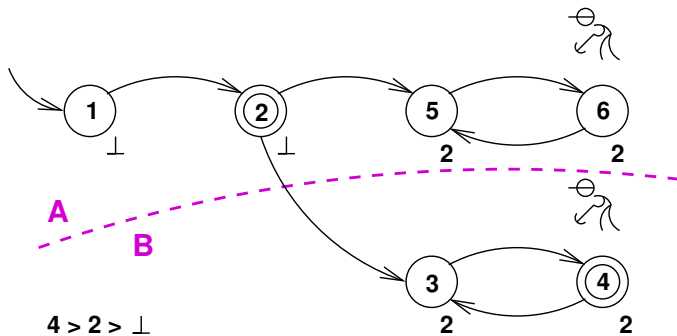
Nelokální vrcholy jsou posílány jádrům, které je mají zpracovat.

Výpočet map hodnot – malé množství jader



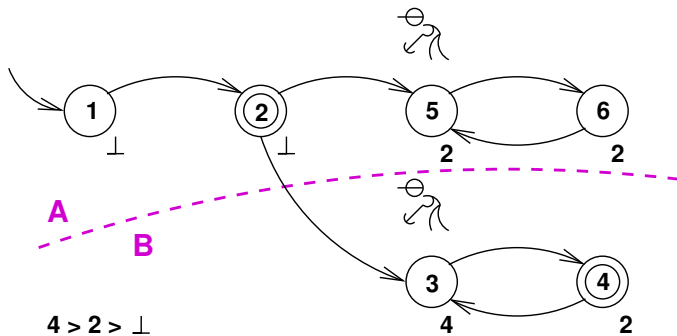
Graf je zpracováván paralelně.

Výpočet map hodnot – malé množství jader



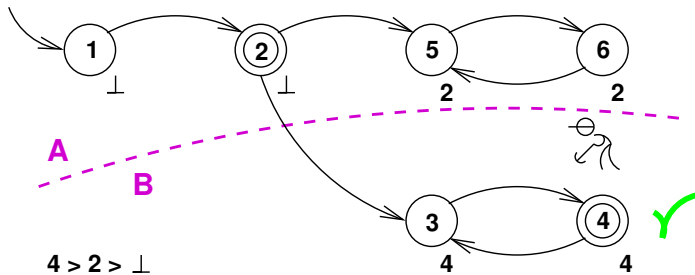
Graf je zpracováván paralelně.

Výpočet map hodnot – malé množství jader



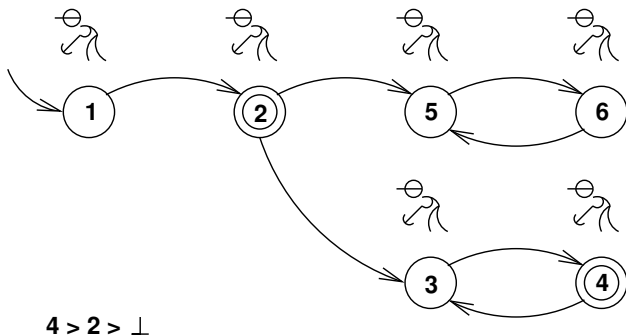
Graf je zpracováván paralelně.

Výpočet map hodnot – malé množství jader



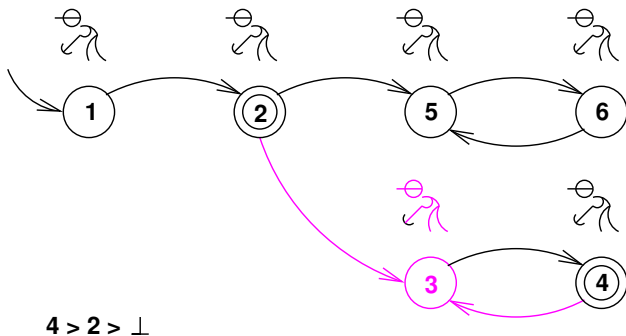
Dokud není nalezen akceptující cyklus.

Výpočet map hodnot – velké množství jader



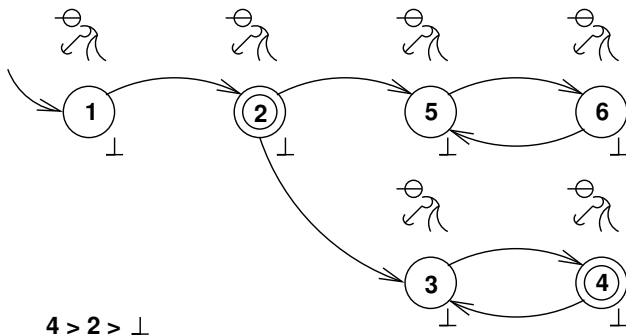
Každému vrcholu přiřazeno jedno vlákno.

Výpočet map hodnot – velké množství jader



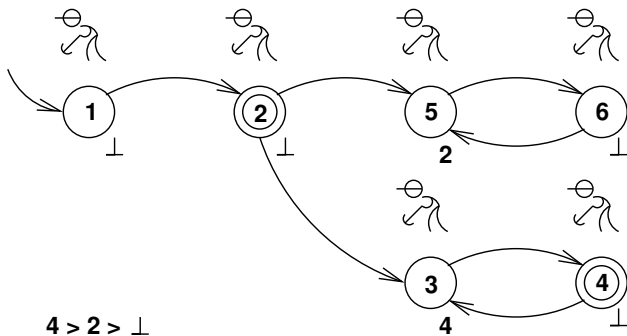
Vlákno zpracovává všechny příchozí hrany.

Výpočet map hodnot – velké množství jader



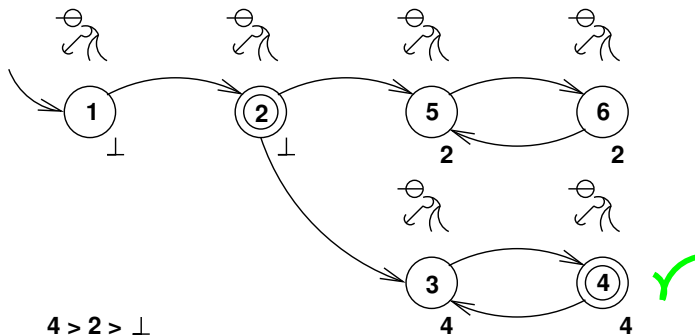
Vlákna pracují souběžně.

Výpočet map hodnot – velké množství jader

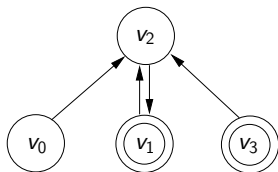


Vlákna pracují souběžně.

Výpočet map hodnot – velké množství jader



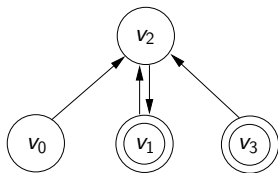
Vlákna pracují souběžně.



$$\begin{array}{c} v_0 \\ v_1 \\ v_2 \\ v_3 \end{array} \begin{pmatrix} v_0 & v_1 & v_2 & v_3 \\ 0 & 0 & 0 & 0 \\ 0 & 0 & 1 & 0 \\ 1 & 1 & 0 & 1 \\ 0 & 0 & 0 & 0 \end{pmatrix}$$

Matice předchůdců

Algoritmus MAP jako součin matice s vektorem



$$\begin{array}{c} v_0 \\ v_1 \\ v_2 \\ v_3 \end{array} \begin{pmatrix} v_0 & v_1 & v_2 & v_3 \\ 0 & 0 & 0 & 0 \\ 0 & 0 & 1 & 0 \\ 1 & 1 & 0 & 1 \\ 0 & 0 & 0 & 0 \end{pmatrix}$$

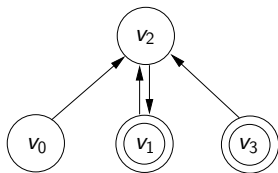
Matice předchůdců

$$\vec{m} \begin{array}{c} \perp \\ \perp \\ \perp \\ \perp \end{array}$$

Přídavná data na vrchol

\vec{m} – map hodnoty

Algoritmus MAP jako součin matice s vektorem



$$\begin{array}{c} v_0 \\ v_1 \\ v_2 \\ v_3 \end{array} \begin{pmatrix} v_0 & v_1 & v_2 & v_3 \\ 0 & 0 & 0 & 0 \\ 0 & 0 & 1 & 0 \\ 1 & 1 & 0 & 1 \\ 0 & 0 & 0 & 0 \end{pmatrix}$$

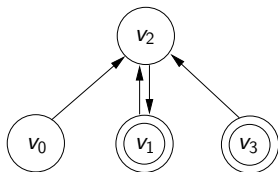
Matice předchůdců

$$\begin{array}{c} \vec{m} \\ \vec{o} \end{array} \begin{array}{c} \perp \\ \perp \\ \perp \\ \perp \end{array}$$

Přídavná data na vrchol

\vec{o} – oldmap hodnoty

Algoritmus MAP jako součin matice s vektorem



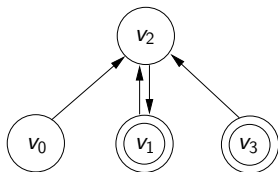
$$\begin{array}{c} v_0 \\ v_1 \\ v_2 \\ v_3 \end{array} \begin{pmatrix} v_0 & v_1 & v_2 & v_3 \\ 0 & 0 & 0 & 0 \\ 0 & 0 & 1 & 0 \\ 1 & 1 & 0 & 1 \\ 0 & 0 & 0 & 0 \end{pmatrix}$$

Matice předchůdců

$$\begin{array}{c} \vec{m} \\ \vec{o} \\ \vec{A} \end{array} \begin{array}{cc} \vec{o} & \vec{A} \\ \perp & \perp & 0 \\ \perp & \perp & 1 \\ \perp & \perp & 0 \\ \perp & \perp & 1 \end{array}$$

Přídavná data na vrchol
 \vec{A} – akceptující vrcholy

Algoritmus MAP jako součin matice s vektorem



$$\begin{matrix} & v_0 & v_1 & v_2 & v_3 \\ v_0 & \begin{pmatrix} 0 & 0 & 0 & 0 \\ 0 & 0 & 1 & 0 \\ 1 & 1 & 0 & 1 \\ 0 & 0 & 0 & 0 \end{pmatrix} \end{matrix}$$

Matice předchůdců

$$\begin{matrix} \vec{m} & \vec{o} & \vec{A} & \vec{r} \\ \perp & \perp & 0 & 0 \\ \perp & \perp & 1 & 0 \\ \perp & \perp & 0 & 0 \\ \perp & \perp & 1 & 0 \end{matrix}$$

Přídavná data na vrchol

\vec{r} – příznak modifikace

$$\begin{matrix} & M & & V & & V' \\ \left(& & \right) & \times & \begin{array}{|c|} \hline \\ \hline \end{array} & = & \begin{array}{|c|} \hline \\ \hline \end{array} \end{matrix}$$

Algoritmus MAP jako součin matice s vektorem

$$i \begin{pmatrix} \overline{\hspace{2cm}} \\ \hspace{2cm} \\ \hspace{2cm} \\ \hspace{2cm} \\ \hspace{2cm} \end{pmatrix} \times \begin{pmatrix} \text{---} \\ \text{---} \\ \text{---} \\ \text{---} \\ \text{---} \end{pmatrix} = \begin{pmatrix} i \\ \text{---} \\ \text{---} \\ \text{---} \\ \text{---} \end{pmatrix}$$

The diagram illustrates the dot product of a row from matrix M and vector V to produce a single element in vector V' . The row i of matrix M is represented by a horizontal rectangle. The vector V is a vertical rectangle containing five smaller vertical rectangles representing its elements. The result V' is a vertical rectangle where the top element is a small box containing the index i .

$$V'[i] = \sum_{0 \leq j \leq n} M[i][j] \cdot V[j]$$

$$i \begin{pmatrix} \text{---} \\ \text{---} \\ \text{---} \\ \text{---} \\ \text{---} \end{pmatrix} \times \begin{pmatrix} | \\ | \\ | \\ | \\ | \end{pmatrix} = \begin{pmatrix} i \\ | \\ | \\ | \\ | \end{pmatrix}$$

$$V'[i] = \sum_{0 \leq j \leq n} M[i][j] \cdot V[j]$$

$$V'[i] = \max_{0 \leq j \leq n} M[i][j] \cdot \text{maxacc}(V[j], i)$$

$$\text{maxacc}(u, v) = \begin{cases} \max\{\text{map}(u), \text{map}(v), u\} & \text{if } \mathcal{A}(u) \\ \max\{\text{map}(u), \text{map}(v)\} & \text{otherwise.} \end{cases}$$

$$i \begin{pmatrix} \overline{} \end{pmatrix} \times \begin{pmatrix} \boxed{} \end{pmatrix} = \begin{pmatrix} \boxed{i} \end{pmatrix}$$

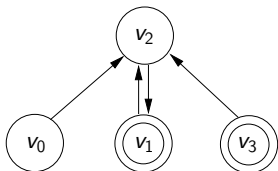
$$V'[i] = \sum_{0 \leq j \leq n} M[i][j] \cdot V[j]$$

$$V'[i] = \max_{0 \leq j \leq n} M[i][j] \cdot \text{maxacc}(V[j], i)$$

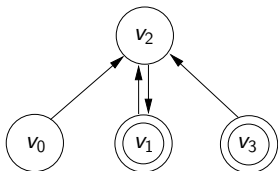
$$V'[i] = \max_{0 \leq j \leq n} M[i][j] \cdot \text{maxacc}(V[j], i) \cdot \text{old}(V[j], i)$$

$$\text{old}(u, v) = \begin{cases} 1 & \text{if } \text{oldmap}(u) = \text{oldmap}(v) \\ \perp & \text{otherwise.} \end{cases}$$

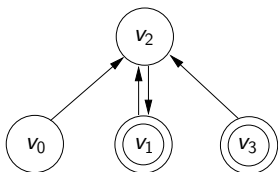
Algoritmus MAP jako součin matice s vektorem — příklad



$$\begin{array}{c}
 v_2 \\
 \times \\
 \begin{array}{c}
 v_0 \ v_1 \ v_2 \ v_3 \\
 \begin{pmatrix} 0 & 0 & 0 & 0 \\ 0 & 0 & 1 & 0 \\ 1 & 1 & 0 & 1 \\ 0 & 0 & 0 & 0 \end{pmatrix}
 \end{array}
 \end{array}
 \times
 \begin{array}{ccc}
 \vec{m} & \vec{o} & \vec{A} \\
 \perp & \perp & 0 \\
 \perp & \perp & 1 \\
 \perp & \perp & 0 \\
 \perp & \perp & 1
 \end{array}
 =
 \begin{array}{cc}
 \vec{m} & \vec{r} \\
 \perp & 0 \\
 \perp & 0 \\
 \mathbf{3} & \mathbf{1} \\
 \perp & 0
 \end{array}$$

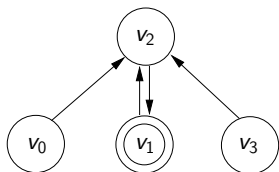


$$v_1 \begin{pmatrix} v_0 & v_1 & v_2 & v_3 \\ 0 & 0 & 0 & 0 \\ 0 & 0 & 1 & 0 \\ 1 & 1 & 0 & 1 \\ 0 & 0 & 0 & 0 \end{pmatrix} \times \begin{matrix} \vec{m} & \vec{o} & \vec{A} \\ \perp & \perp & 0 \\ \perp & \perp & 1 \\ \mathbf{3} & \perp & 0 \\ \perp & \perp & 1 \end{matrix} = \begin{matrix} \vec{m} & \vec{r} \\ \perp & 0 \\ \mathbf{3} & \mathbf{1} \\ 3 & \mathbf{0} \\ \perp & 0 \end{matrix}$$



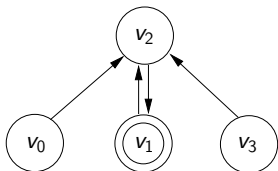
$$\begin{array}{cccc}
 v_0 & v_1 & v_2 & v_3 \\
 \begin{pmatrix} 0 & 0 & 0 & 0 \\ 0 & 0 & 1 & 0 \\ 1 & 1 & 0 & 1 \\ 0 & 0 & 0 & 0 \end{pmatrix} & \times & \begin{array}{ccc} \vec{m} & \vec{o} & \vec{A} \\ \perp & \perp & 0 \\ \mathbf{3} & \perp & 1 \\ 3 & \perp & 0 \\ \perp & \perp & 1 \end{array} & = & \begin{array}{cc} \vec{m} & \vec{r} \\ \perp & 0 \\ 3 & \mathbf{0} \\ 3 & 0 \\ \perp & 0 \end{array}
 \end{array}$$

Pevný bod.
Akceptující cyklus nenalezen.



$$\begin{array}{ccc}
 m & o & \mathcal{A} \\
 \perp & \perp & 0 \\
 3 & \perp & 1 \\
 3 & \perp & 0 \\
 \perp & \perp & 1
 \end{array}
 \implies
 \begin{array}{ccc}
 m & o & \mathcal{A} \\
 \perp & \perp & 0 \\
 3 & \perp & 1 \\
 3 & \perp & 0 \\
 \perp & \perp & \mathbf{0}
 \end{array}$$

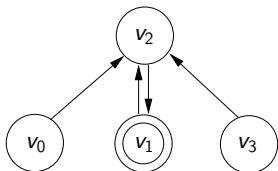
Vrchol v_3 označen jako neakceptující.



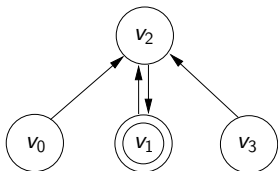
$$\begin{array}{ccc}
 m & o & \mathcal{A} \\
 \perp & \perp & 0 \\
 3 & \perp & 1 \\
 3 & \perp & 0 \\
 \perp & \perp & 0
 \end{array}
 \implies
 \begin{array}{ccc}
 m & o & \mathcal{A} \\
 \perp & \perp & 0 \\
 \perp & \mathbf{3} & 1 \\
 \perp & \mathbf{3} & 0 \\
 \perp & \perp & 0
 \end{array}$$

Rozdělení na podgrafy.

Algoritmus MAP jako součin matice s vektorem — příklad



$$v_2 \begin{pmatrix} v_0 & v_1 & v_2 & v_3 \\ 0 & 0 & 0 & 0 \\ 0 & 0 & 1 & 0 \\ 1 & 1 & 0 & 1 \\ 0 & 0 & 0 & 0 \end{pmatrix} \times \begin{matrix} \vec{m} & \vec{o} & \vec{A} \\ \perp & \perp & 0 \\ \perp & 3 & 1 \\ \perp & 3 & 0 \\ \perp & \perp & 0 \end{matrix} = \begin{matrix} \vec{m} & \vec{r} \\ \perp & 0 \\ \perp & 0 \\ \mathbf{1} & \mathbf{1} \\ \perp & 0 \end{matrix}$$



$$\begin{array}{c} v_1 \\ \times \end{array} \begin{array}{c} v_0 \ v_1 \ v_2 \ v_3 \\ \left(\begin{array}{cccc} 0 & 0 & 0 & 0 \\ 0 & 0 & 1 & 0 \\ 1 & 1 & 0 & 1 \\ 0 & 0 & 0 & 0 \end{array} \right) \end{array} \times \begin{array}{c} \vec{m} \ \vec{o} \ \vec{A} \\ \begin{array}{ccc} \perp & \perp & 0 \\ \perp & 3 & 1 \\ 1 & 3 & 0 \\ \perp & \perp & 0 \end{array} \end{array} = \begin{array}{c} \vec{m} \ \vec{r} \\ \begin{array}{cc} \perp & 0 \\ \mathbf{1} & \mathbf{1} \\ 1 & \mathbf{0} \\ \perp & 0 \end{array} \end{array}$$

Nalezen akceptující cyklus $map(v_1) = v_1$

Reprezentace a výpočet grafu

Generování stavového prostoru

- Graf je zadán implicitně zdrojovým kódem programu.
- Explicitní (maticovou) reprezentaci grafu, je třeba vypočítat.
- Orientovaný, **řádký** graf.
- Zpětné hrany nelze vypočítat (kvůli příkazu přiřazení).

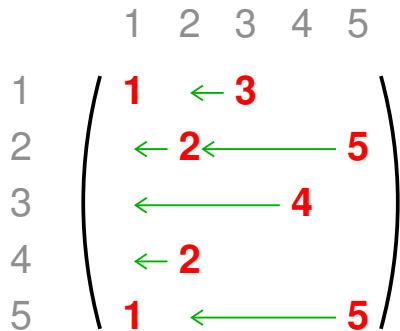
Reprezentace grafu

- Matice souslednosti – prostorově náročná reprezentace.
- Matice obsahuje pouze hodnoty 0 a 1.
- Zjednodušený **Compressed Sparse Row** (CSR) formát.

$$\begin{array}{c} \\ \\ 1 \\ 2 \\ 3 \\ 4 \\ 5 \end{array} \begin{array}{ccccc} & 1 & 2 & 3 & 4 & 5 \\ \left(\begin{array}{ccccc} \mathbf{1} & \mathbf{0} & \mathbf{1} & \mathbf{0} & \mathbf{0} \\ \mathbf{0} & \mathbf{1} & \mathbf{0} & \mathbf{0} & \mathbf{1} \\ \mathbf{0} & \mathbf{0} & \mathbf{0} & \mathbf{1} & \mathbf{0} \\ \mathbf{0} & \mathbf{1} & \mathbf{0} & \mathbf{0} & \mathbf{0} \\ \mathbf{1} & \mathbf{0} & \mathbf{0} & \mathbf{0} & \mathbf{1} \end{array} \right)$$

$$\begin{array}{c} \\ \\ 1 \\ 2 \\ 3 \\ 4 \\ 5 \end{array} \begin{pmatrix} & 1 & & & & \\ & & 2 & & & \\ & & & 3 & & \\ & & & & 4 & \\ & & & & & 5 \\ 1 & \mathbf{1} & & & & \\ 2 & & \mathbf{1} & & & \\ 3 & & & & \mathbf{1} & \\ 4 & & & \mathbf{1} & & \\ 5 & \mathbf{1} & & & & \mathbf{1} \end{pmatrix}$$

$$\begin{array}{c} \\ \\ 1 \\ 2 \\ 3 \\ 4 \\ 5 \end{array} \begin{pmatrix} & 1 & 2 & 3 & 4 & 5 \\ & \mathbf{1} & & \mathbf{3} & & \\ & & \mathbf{2} & & & \mathbf{5} \\ & & & \mathbf{4} & & \\ & & \mathbf{2} & & & \\ & \mathbf{1} & & & & \mathbf{5} \end{pmatrix}$$



$$\begin{array}{c} \\ \\ 1 \\ 2 \\ 3 \\ 4 \\ 5 \end{array} \begin{pmatrix} & 1 & 2 & 3 & 4 & 5 \\ & \mathbf{1} & \mathbf{3} & & & \\ & \mathbf{2} & \mathbf{5} & & & \\ & \mathbf{4} & & & & \\ & \mathbf{2} & & & & \\ & \mathbf{1} & \mathbf{5} & & & \end{pmatrix}$$

1 3
2 5
4
2
1 5

Mc=(1 3)

2 5

4

2

1 5

Mc=(1 3 2 5)



4

2

1 5

Mc=(1 3 2 5 4)



2
1 5

Mc=(1 3 2 5 4 2)




1 5

Mc=(1 3 2 5 4 2 1 5)



The diagram shows the sequence 1 3 2 5 4 2 1 5. Blue arrows point upwards from below the numbers 3, 5, 4, and 2.

$$\mathbf{M}_c = (\mathbf{1} \ \mathbf{3} \ \mathbf{2} \ \mathbf{5} \ \mathbf{4} \ \mathbf{2} \ \mathbf{1} \ \mathbf{5})$$



$$\mathbf{M}_r = (\mathbf{0})$$

Mc=(1 3 2 5 4 2 1 5)



Mr=(0 2)

Mc=(1 3 2 5 4 2 1 5)

Mr=(0 2 4)



Mc=(1 3 2 5 4 2 1 5)

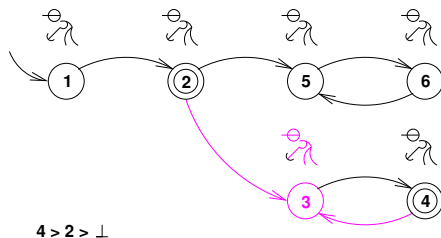
Mr=(0 2 4 5 6)

$$\begin{pmatrix} 1 & 0 & 1 & 0 & 0 \\ 0 & 1 & 0 & 0 & 1 \\ 0 & 0 & 0 & 1 & 0 \\ 0 & 1 & 0 & 0 & 0 \\ 1 & 0 & 0 & 0 & 1 \end{pmatrix}$$

$$\mathbf{Mc} = (\mathbf{1} \ \mathbf{3} \ \mathbf{2} \ \mathbf{5} \ \mathbf{4} \ \mathbf{2} \ \mathbf{1} \ \mathbf{5})$$

$$\mathbf{Mr} = (\mathbf{0} \ \mathbf{2} \ \mathbf{4} \ \mathbf{5} \ \mathbf{6})$$

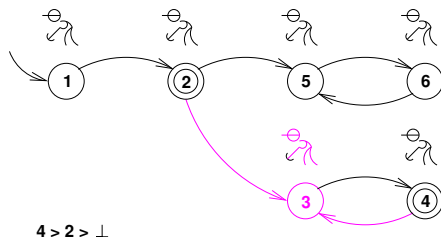
MAP vynucuje enumeraci předchůdců



CSR a MAP problém

- Enumerace předchůdců v CSR formátu znamená prohledání celé CSR reprezentace grafu.
- Pozorování: Enumerace následníků je v CSR reprezentaci snadná (následníci vrcholu uloženy v jednom řádku matice).

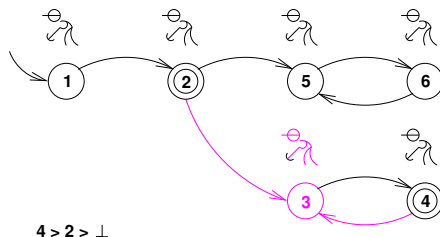
MAP vynucuje enumeraci předchůdců



CSR a MAP řešení #1

- Vlákna místo "stahování" hodnot ostatních vrcholů směrem k sobě, "nahrávají" své hodnoty k sousedním vrcholům.
- Problém souběžného zápisu na cílových vrcholech.

MAP vynucuje enumeraci předchůdců



CSR a MAP řešení #2

- Transpozice grafu je zbytečná práce.
- Je možné transponovat "algoritmus":
MAP \rightarrow MAS (Maximální akceptující následník.)
- MAS vyžaduje efektivní enumeraci následníků.

Pozorování

- CSR reprezentaci je třeba vypočítat.
- Část výpočtu není akcelerována pomocí GP GPU.
- Negativní dopad na celkové zrychlení dosažené použitím technologie CUDA.

Paralelizace výpočtu CSR reprezentace

- CSR je možné počítat paralelním CPU algoritmem.
- Problém unikátního číslování vrcholů.
- Přechíslování pomocí CUDA kernelu: $(CPU_ID, N) \rightarrow N$

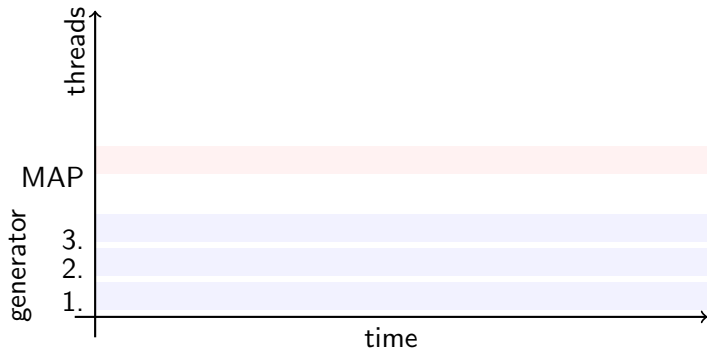
Časná detekce akceptujícího cyklu (On-The-Fly verifikace)

- **Schopnost detekce akceptujícího cyklu bez nutnosti generování kompletního grafu stavového prostoru.**
- Detekce akceptujícího cyklu v neúplné reprezentaci grafu.

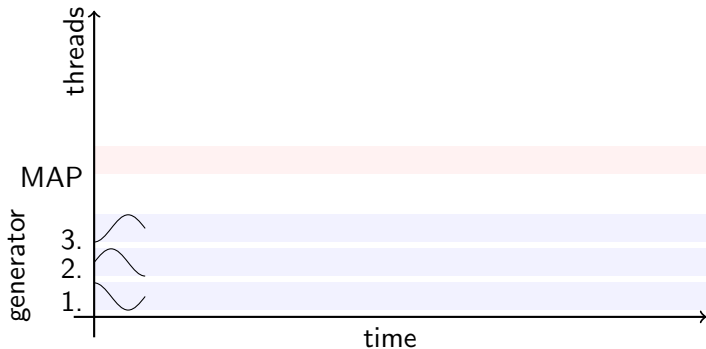
Pozorování

- Akceptující cyklus je možné detekovat stejným GPU algoritmem i v neúplně vygenerovaném grafu.
- Souběžné generování CSR reprezentace na CPU a detekce akceptujícího cyklu na GPU.

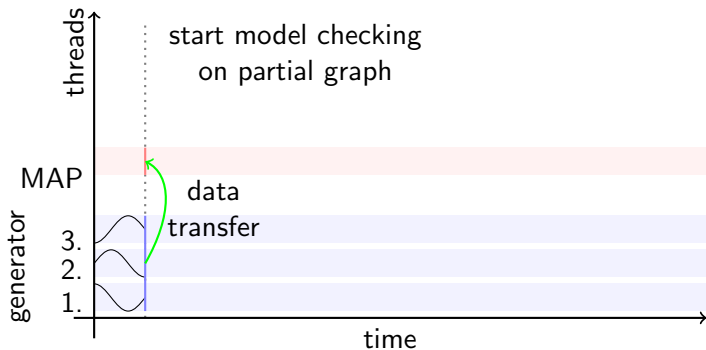
Myšlenka on-the-fly verifikace s využitím GPGPU



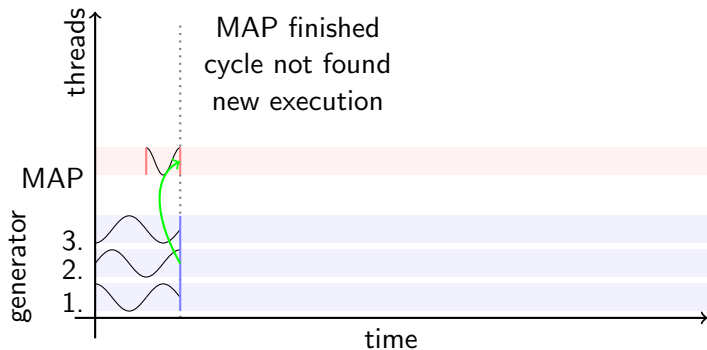
Myšlenka on-the-fly verifikace s využitím GPGPU



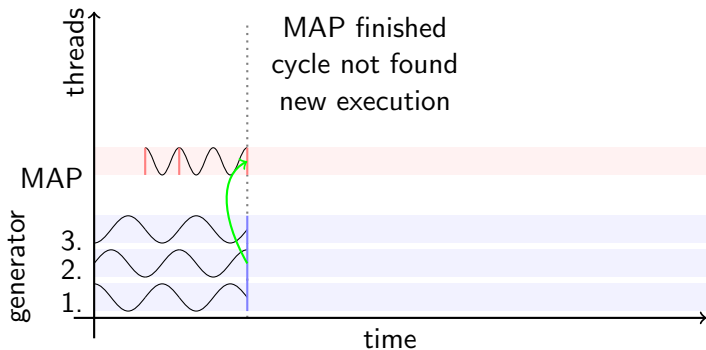
Myšlenka on-the-fly verifikace s využitím GPGPU



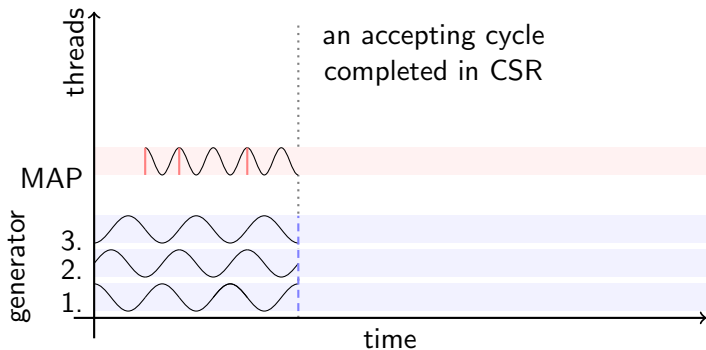
Myšlenka on-the-fly verifikace s využitím GPGPU



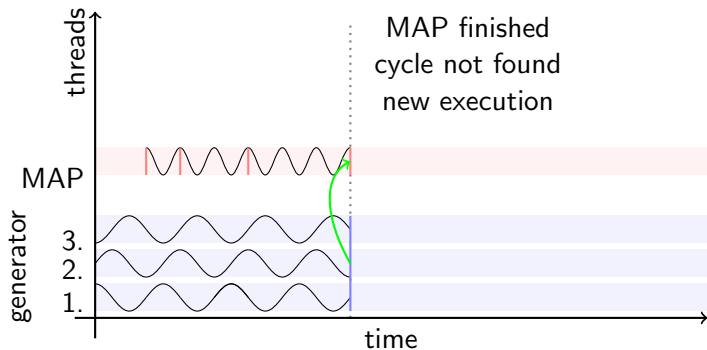
Myšlenka on-the-fly verifikace s využitím GPGPU



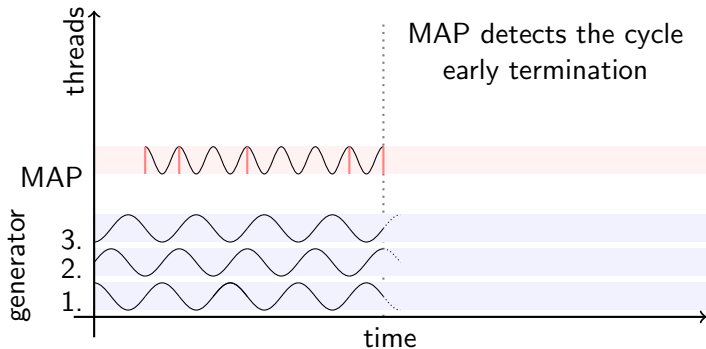
Myšlenka on-the-fly verifikace s využitím GPGPU



Myšlenka on-the-fly verifikace s využitím GPGPU



Myšlenka on-the-fly verifikace s využitím GPGPU



Využití více GP GPU karet

Paměťová náročnost reprezentace

- 12B na vrchol (4B CSR + 8B MAP $map, oldmap, \mathcal{A}, r$)
- 4B na hranu (CSR)

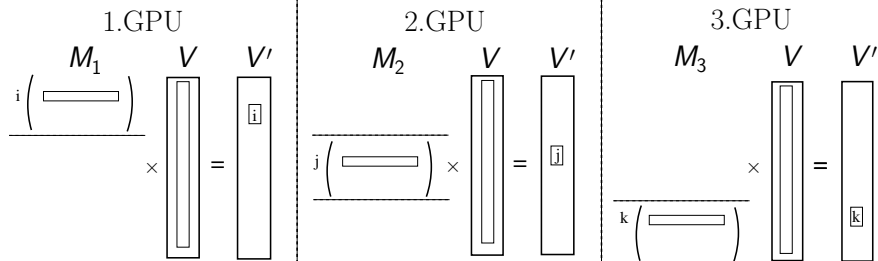
$$\begin{pmatrix} 1 & 0 & 1 & 0 & 0 \\ 0 & 1 & 0 & 0 & 1 \\ 0 & 0 & 0 & 1 & 0 \\ 0 & 1 & 0 & 0 & 0 \\ 1 & 0 & 0 & 0 & 1 \end{pmatrix}$$

$$\begin{aligned} Mc &= (1 & 3 & 2 & 5 & 4 & 2 & 1 & 5) \\ Mr &= (0 & 2 & 4 & 5 & 6) \end{aligned}$$

1 GB GPU karta

- 30 miliónů vrcholů, 150 miliónů hran (outdegree 5)
- 50 miliónů vrcholů, 100 miliónů hran (outdegree 2)

Schéma

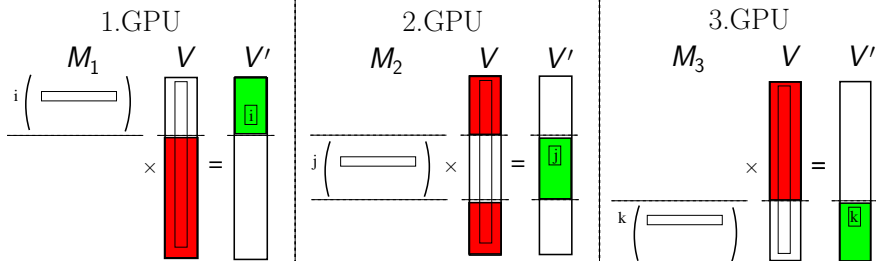


Výhody/Nevýhody

- Pouze částečná distribuce.
- Jednu iteraci (jedno násobení) je možné kompletně spočítat bez nutnosti další komunikace mezi GPU zařízeními.

Distribuce dat mezi více GPU karet – verze 1

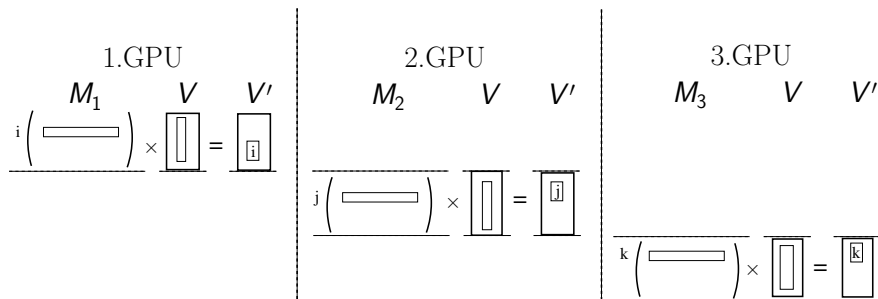
Schéma



Výhody/Nevýhody

- Pouze částečná distribuce.
- Jednu iteraci (jedno násobení) je možné kompletně spočítat bez nutnosti další komunikace mezi GPU zařízeními.
- Další iterace vyžadují výměnu dat mezi GPU zařízeními.

Schéma

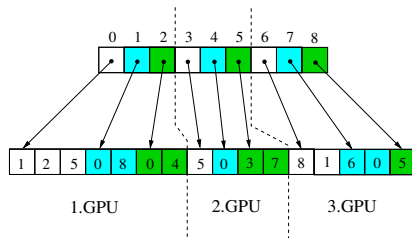


Výhody/Nevýhody

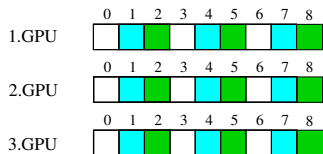
- Kompletní distribuce dat.
- Ani jednu iteraci nelze dokončit bez nutnosti další komunikace mezi GPU zařízeními.

Přístup k nelokálním vrcholům

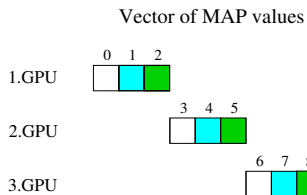
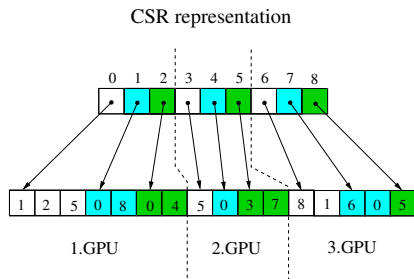
CSR representation



Vector of MAP values

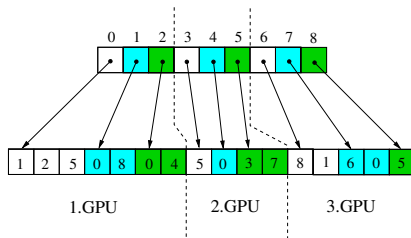


Přístup k nelokálním vrcholům

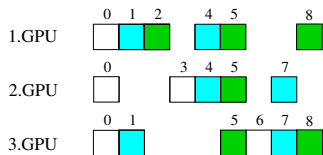


Přístup k nelokálním vrcholům

CSR representation

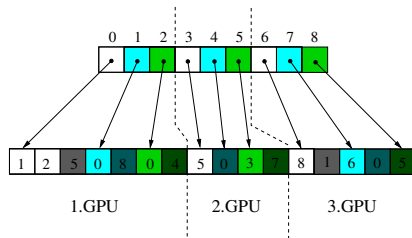


Vector of MAP values

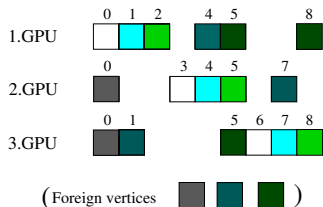


Přístup k nelokálním vrcholům

CSR representation



Vector of MAP values

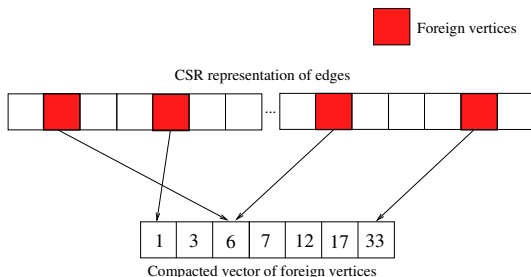


Pozorování

- Výměna všech nelokálních hodnot je drahá.
- Výměna pouze požadovaných nelokálních hodnot je obtížná, neboť hodnoty jsou prostorově nespojitě.

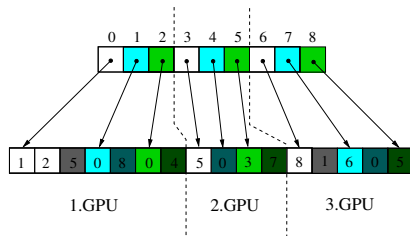
Navržené řešení

- Každé zařízení používá kompaktní vektor nelokálních vrcholů.
- CSR reprezentace modifikována odpovídajícím způsobem.



Kompakce nelokálních vrcholů

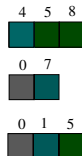
CSR representation



Vector of MAP values



Compacted vector



(Foreign vertices   )

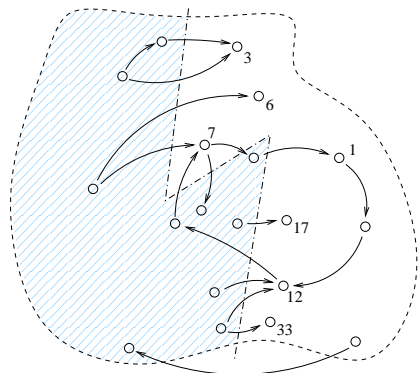
Omezení

- Modifikace CSR reprezentace je výpočetně náročná, **nutno akcelarovat pomocí GPU**.
- Některé nelokální vrcholy se v CSR opakují!
- Nelze použít reduce (protorově náročné) ani AtomicCAS (časově náročné).

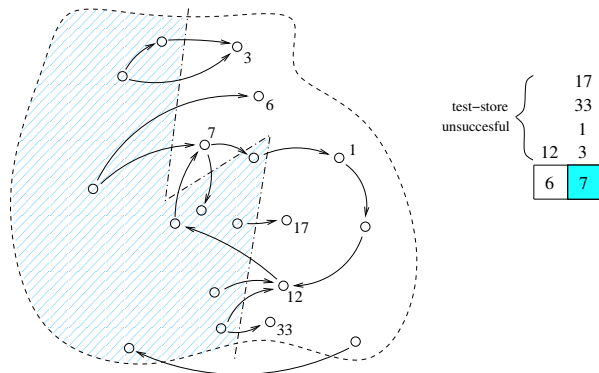
Řešení

- Kompaktní vektor (téměř) lze vytvořit opakovaným hašování do dynamicky rostoucího pole. (CUDA)
- Kompaktní vektor se utřídí a ořeže (CPU).
- Aktualizuje se CSR (binární prohledávání, CUDA).

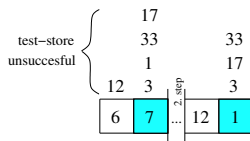
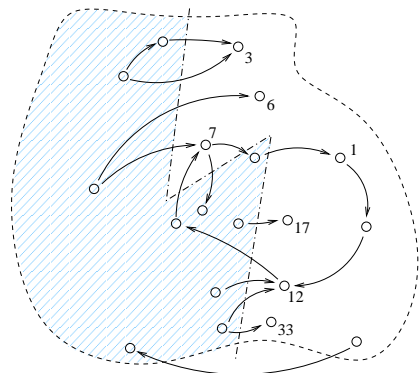
Příprava kompaktních vektorů nelokálních hodnot – demo



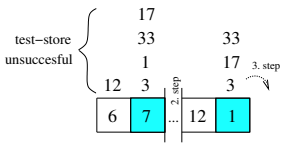
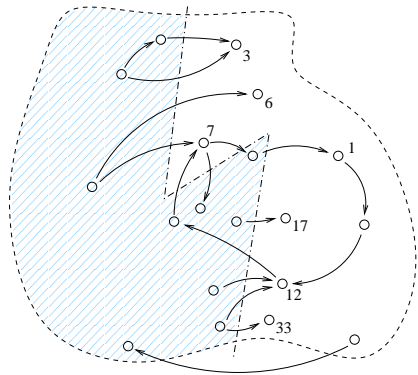
Příprava kompaktních vektorů nelokálních hodnot – demo



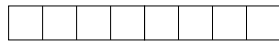
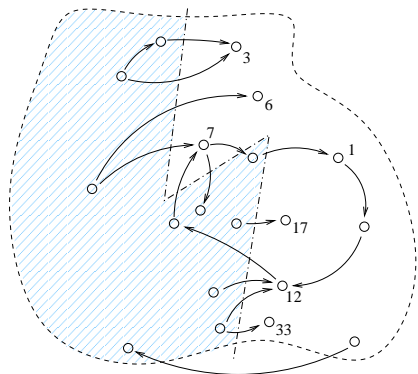
Příprava kompaktních vektorů nelokálních hodnot – demo



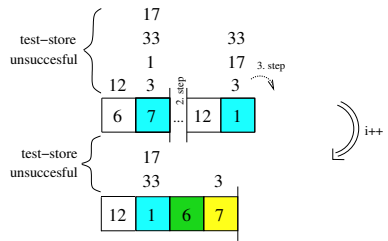
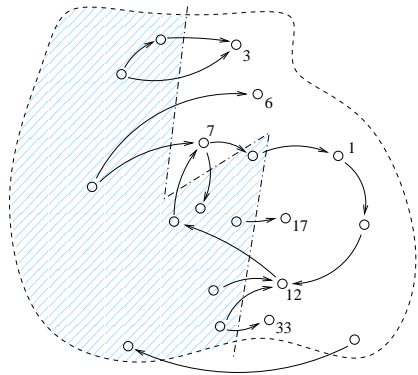
Příprava kompaktních vektorů nelokálních hodnot – demo



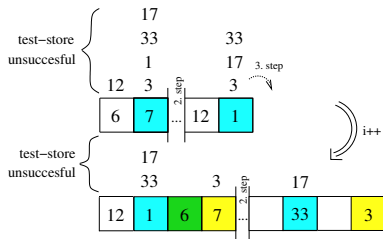
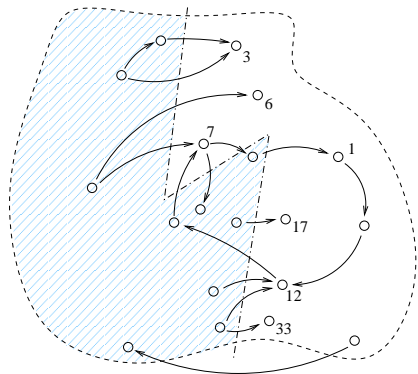
Příprava kompaktních vektorů nelokálních hodnot – demo



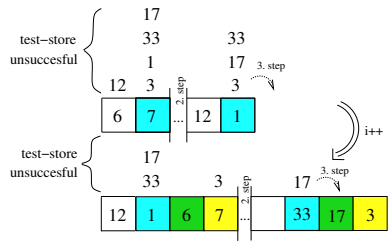
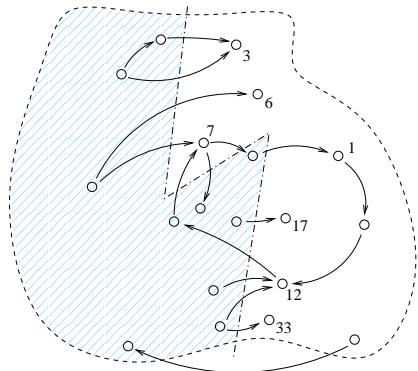
Příprava kompaktních vektorů nelokálních hodnot – demo



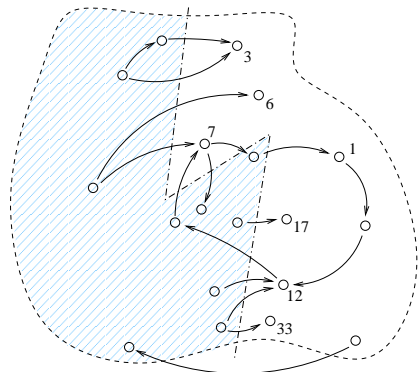
Příprava kompaktních vektorů nelokálních hodnot – demo



Příprava kompaktních vektorů nelokálních hodnot – demo

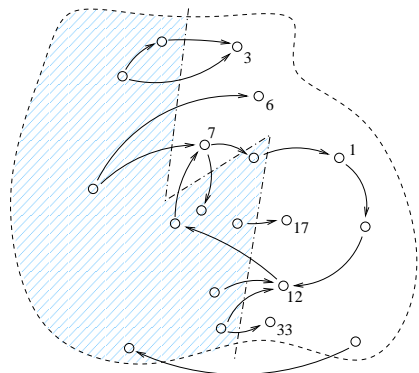


Příprava kompaktních vektorů nelokálních hodnot – demo



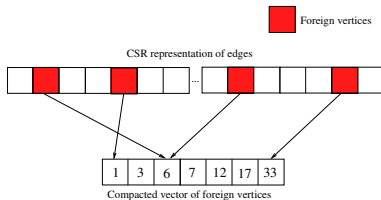
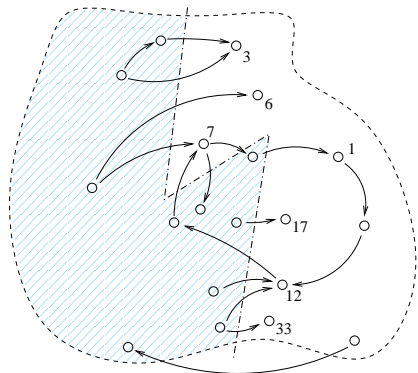
	1	3	6	7	12	17	33
--	---	---	---	---	----	----	----

Příprava kompaktních vektorů nelokálních hodnot – demo



1	3	6	7	12	17	33
---	---	---	---	----	----	----

Příprava kompaktních vektorů nelokálních hodnot – demo



Pozorování

- Výpočet hodnot funkce MAP/MAS končí v okamžiku dosažení pevného bodu.
- Hodnoty MAP/MAS monotónně rostou.
- Znovu-provedení aktualizací nepokazí korektnost.
(Maximum z hodnot a jejich maxima je jejich maximum.)

Důsledek

- Pořadí provedení výpočtů maxim může být libovolné, po dostatečně dlouhém opakování se vždy dosáhne pevného bodu.
- Různé strategie pro výměny dat mezi jednotlivými GPU.

Použití jiných algoritmů

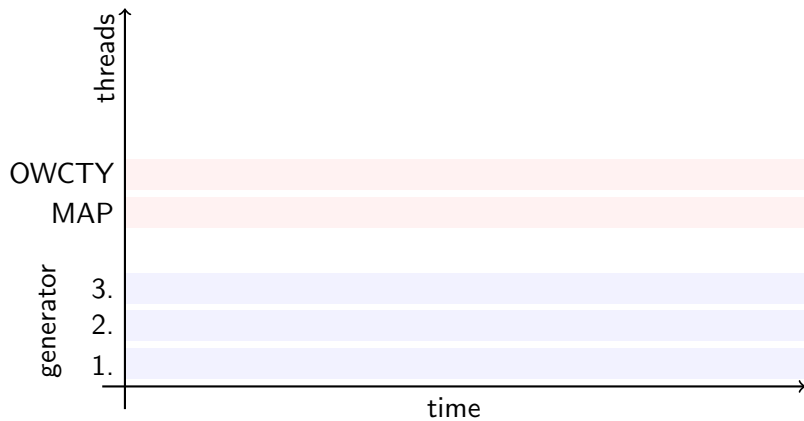
Princip algoritmu

- Alternace topologického třídění a výpočtu relace dosažitelnosti.

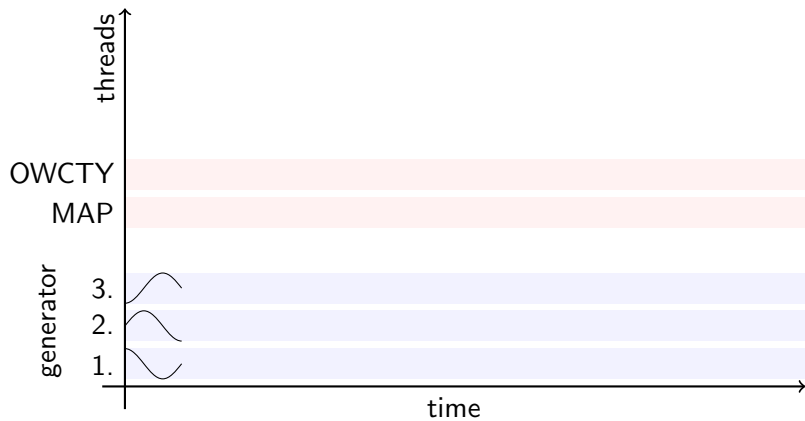
Princip GPU akcelerace

- Akcelerace identickým způsobem jako výpočet funkce MAP.
- Operace převedeny na problém násobení matice vektorem, ve vzorečku pro násobení se použijí vhodné matematické operace.
- Paměťové nároky algoritmu: 4B na vrchol + CSR.

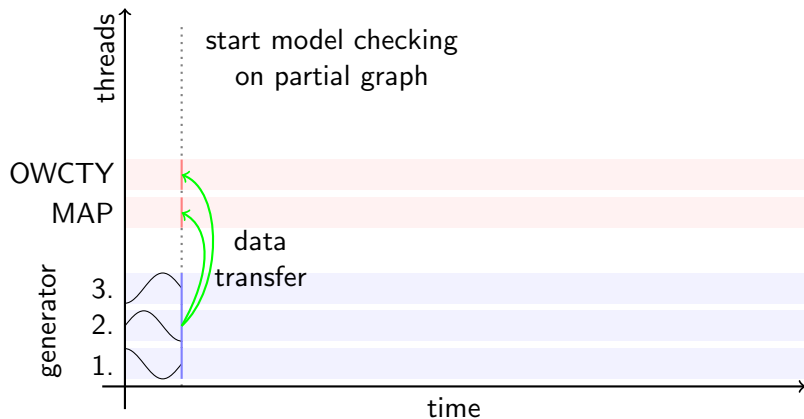
Kombinace algoritmů



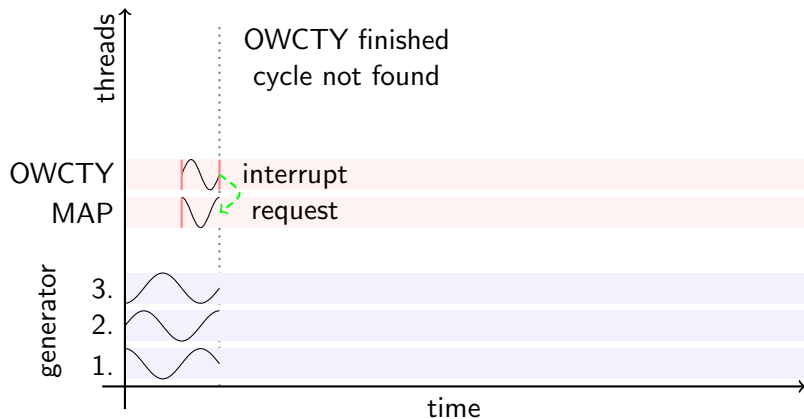
Kombinace algoritmů



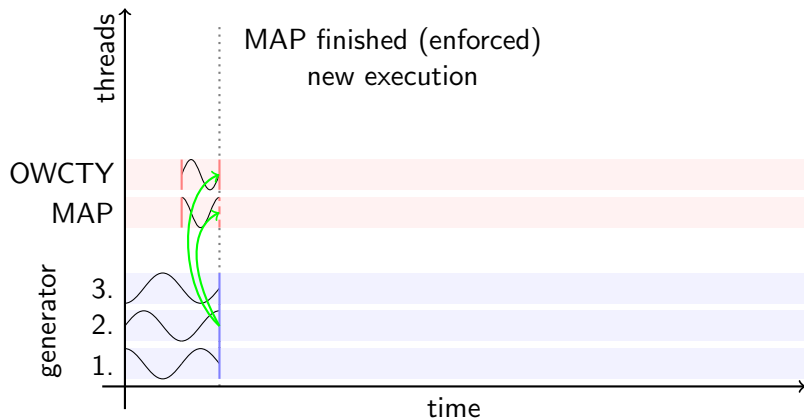
Kombinace algoritmů



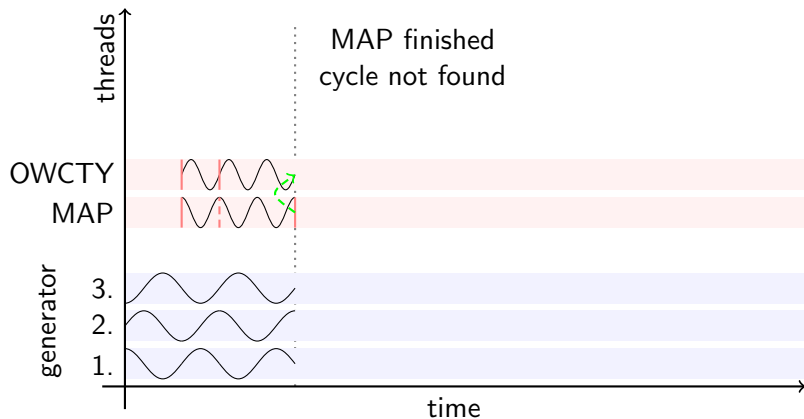
Kombinace algoritmů



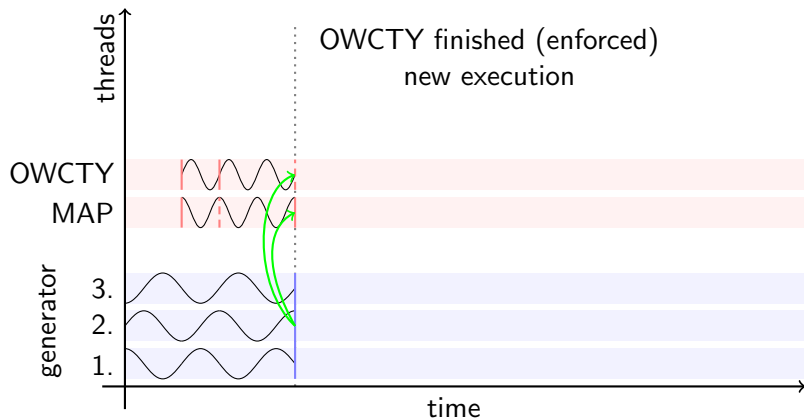
Kombinace algoritmů



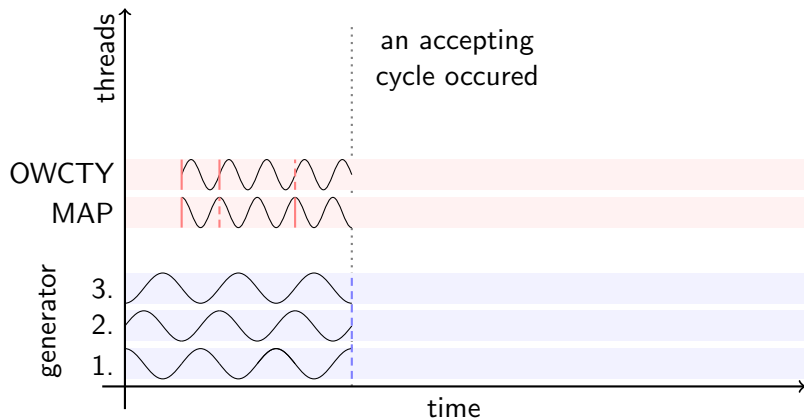
Kombinace algoritmů



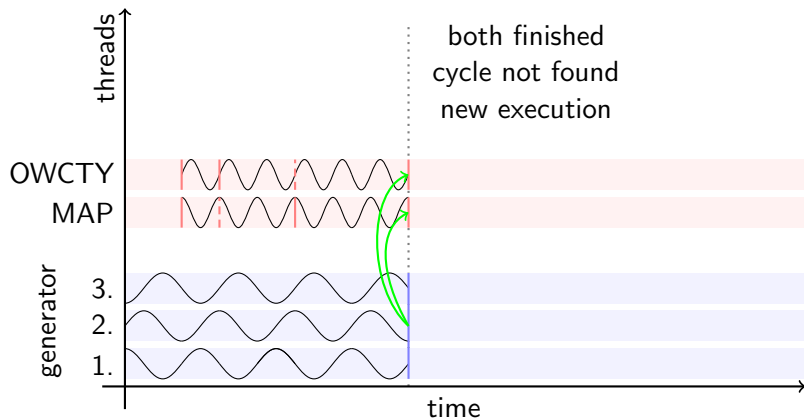
Kombinace algoritmů



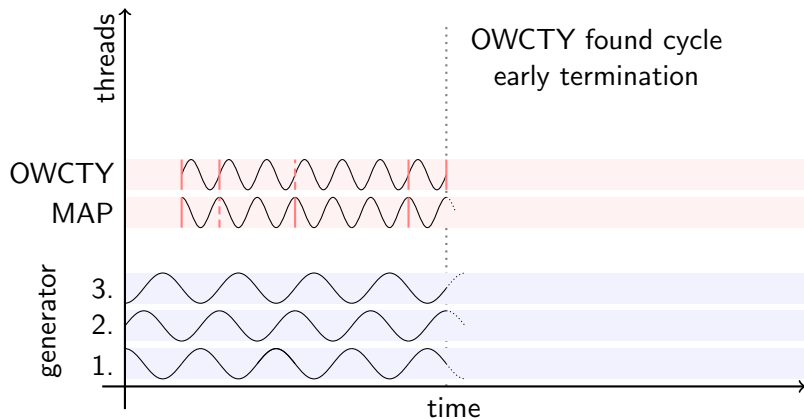
Kombinace algoritmů



Kombinace algoritmů



Kombinace algoritmů



Experimentální měření

Stanice

- Linux OS
- AMD Phenom(tm) II X4 940 Processor @ 3GHz
- 8 GB DDR2 @ 1066 MHz RAM
- 2x NVIDIA GeForce GTX 280 s 1GB RAM

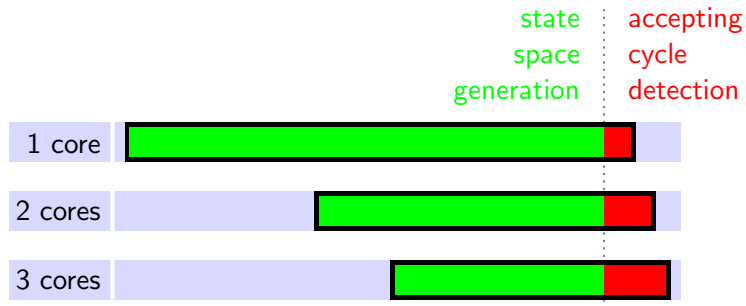
V nových experimentech

- GPU GTX480 with 1.5GB VRAM

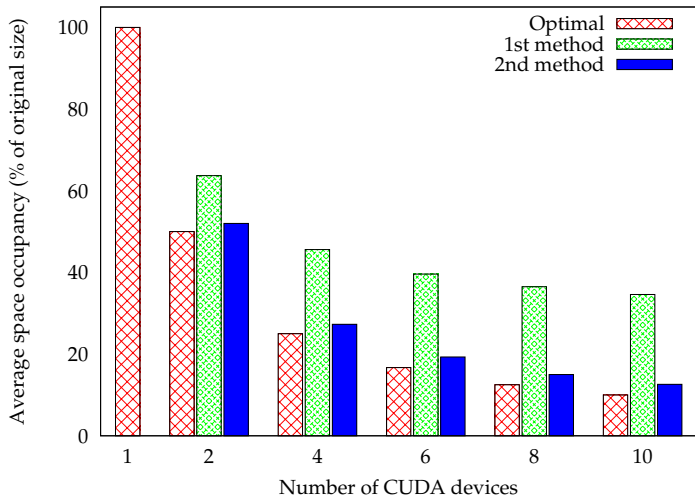




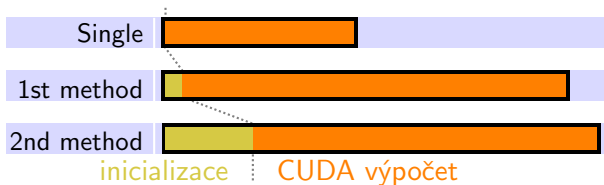
Dopad použití paralelní konstrukce CSR na MAP



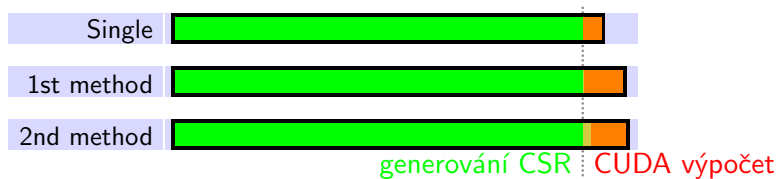
Využití více CUDA zařízení – redukce paměti



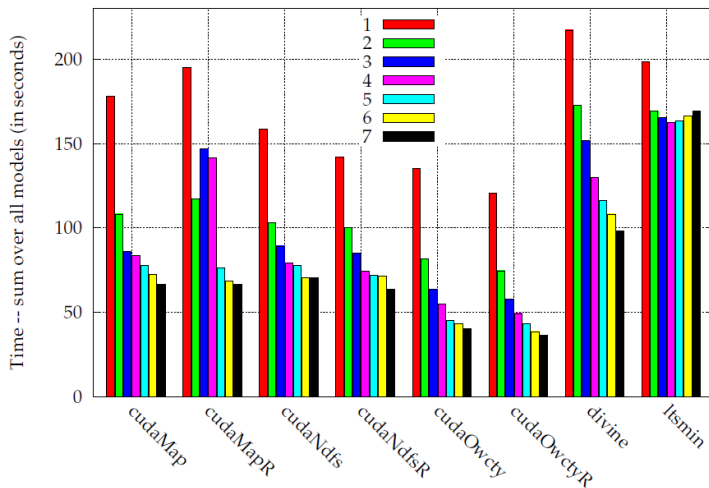
Zpomalení



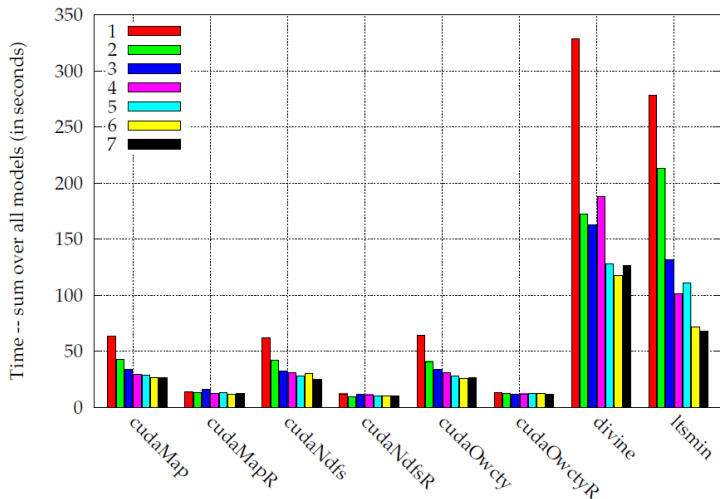
Dopad na celkovou proceduru verifikace



Porovnání se state-of-the-art (bez akceptujícího cyklu)



Porovnání se state-of-the-art (s akceptujícím cyklem)



Shrnutí

V několika větech ...

- Akcelerace samotných algoritmů a grafových primitiv je opodstatněná, nicméně v kontextu celé procedury je diskutabilní, zejména kvůli nákladnému generování grafu.
- Akcelerace algoritmů v celočíselné aritmetice.
- Dosaženo lepších časů s neoptimálními paralelními algoritmy na GPU, než s optimálními sekvenční algoritmy pracujícími na CPU.

Kudy dál?

- Jak akcelarovat generování stavového prostoru?
- Je to vůbec možné?

- J. Barnat and P. Bauch and L. Brim and M. Ceska: **Designing Fast LTL Model Checking Algorithms for Many-Core GPUs**, Journal PDC, 2012.
- J. Barnat and P. Bauch and L. Brim and M. Ceska: **Employing Multiple CUDA Devices to Accelerate LTL Model Checking** 16th International Conference on Parallel and Distributed Systems (ICPADS 2010), IEEE Computer Society, 2010, 259-266.
- J. Barnat and L. Brim and M. Ceska and T. Lamr: **CUDA accelerated LTL Model Checking** 15th International Conference on Parallel and Distributed Systems (ICPADS 2009), IEEE Computer Society, 2009, 34-41.
- J. Barnat and L. Brim and M. Ceska: **DiVinE-CUDA: A Tool for GPU Accelerated LTL Model Checking** Electronic Proceedings in Theoretical Computer Science (PDMC 2009), volume 14, 2009, 107-111.